

文章编号:1674 - 2869(2016)06 - 0594 - 05

# 碳纳米管纳米流体对液冷式CPU换热性能的改善

郑 周<sup>1,3</sup>,叶晓江<sup>1,2\*</sup>,侯志坚<sup>3</sup>,张艺雪<sup>1</sup>,郑星文<sup>1</sup>,陈 飞<sup>1,3</sup>

1. 武汉工程大学理学院,湖北 武汉 430205;  
2. 华中科技大学材料科学与工程学院,湖北 武汉 430074;  
3. 深圳职业技术学院机电学院,广东 深圳 518055

**摘要:**针对液冷式CPU(central processing unit)散热器散热效果差的问题,设计了液冷式CPU散热器的换热性能实验系统。该实验系统使用基液丙二醇-水,Al<sub>2</sub>O<sub>3</sub>纳米流体和多壁碳纳米管(MWCNTs)纳米流体进行换热实验,采用单变量法对实验条件进行控制。当加热功率为18.26 W时,基液丙二醇-水的热阻值为0.859 °C/W,质量分数0.135%的Al<sub>2</sub>O<sub>3</sub>纳米流体的热阻值为0.751 °C/W,质量分数0.135%的多壁碳纳米管纳米流体的热阻值为0.739 °C/W,质量分数0.32%的MWCNTs纳米流体的热阻值为0.457 °C/W。结果表明:在基液中添加纳米粒子能提高基液的换热能力,MWCNTs纳米流体的换热效果随着质量分数的增加而增强。

**关键词:**碳纳米管流体;液冷CPU;换热性能;热阻

中图分类号:TB383 文献标识码:A doi:10.3969/j.issn.1674-2869.2016.06.015

## Improvement of Heat Transfer Properties of Liquid-Cooled Central Processing Unit by Nanofluids Containing Multi-Walled Carbon Nanotubes

ZHENG Zhou<sup>1,3</sup>, YE Xiaojiang<sup>2\*</sup>, HOU Zhijian<sup>3</sup>, ZHANG Yixue<sup>1</sup>, ZHENG Xingwen<sup>1</sup>, CHENG Fei<sup>1,3</sup>

1. School of Science, Wuhan Institute of Technology, Wuhan 430205, China;  
2. School of Materials Science and Engineering, Huazhong University of Science and Technology, Wuhan 430074, China;  
3. School of Mechanical and Electrical Engineering, Shenzhen Polytechnic, Shenzhen 518055, China

**Abstract:** Aiming at the problem of poor heat dissipation in the liquid-cooled central processing unit(CPU) radiator, we designed the heat transfer performance experiment system in the liquid-cooled CPU radiator, by using propylene glycol-water based fluid, and nanofluids containing alumina and multi-walled carbon nanotubes (MWCNTs ) to conduct heat transfer experiment, and we optimized the experimental conditions through the single variable method. When the heating power is 18.26 W, the thermal resistance of propylene glycol-water fluid, alumina nanofluids with mass fraction of 0.135%, and MWCNTs nanofluids with mass fraction of 0.135% and 0.32% were 0.859 °C/W, 0.751 °C/W, 0.739 °C/W and 0.457 °C/W, respectively. The results show that the heat transfer capability of the based fluid improves by adding nanoparticles, and the heat transfer effect of MWCNTs nanofluids enhances with the mass fraction increasing.

**Keywords:** MWCNTsnanofluids;liquid-cooled CPU;heat transfer performance; thermal resistance

## 1 引 言

液冷式CPU的散热器最早出现于20世纪80

年代末90年代初,采用的是直径为4 cm的铝制散热片。从1993年开始,风扇开始普遍使用在液冷式CPU散热器上。随着电子技术发展,CPU频率和晶

收稿日期:2016-08-29

基金项目:武汉工程大学第七届研究生教育创新基金(CX2015091)

作者简介:郑 周,硕士研究生. E-mail:1689806431@qq.com

\*通讯作者:叶晓江,博士,教授. E-mail:xiaojiangye@foxmail.com

体管集成规模上升,CPU的温度也成倍地增长,以往的散热器已远不能满足CPU散热的需要,于是如何提高液冷式CPU散热器的换热性能,成为了研究热点。

在众多的冷却技术中,液冷技术非常实用。自Choi<sup>[1]</sup>等提出纳米流体的概念后,已有研究表明,在液体中添加纳米粒子,可以提高液体的导热系数,增强对流换热<sup>[2-7]</sup>。Masuda<sup>[8]</sup>等发现体积分数4.3%的Al<sub>2</sub>O<sub>3</sub>-H<sub>2</sub>O纳米流体的导热系数比水提高了30%;李强<sup>[9]</sup>等分别测量了Al-H<sub>2</sub>O纳米流体和Cu-H<sub>2</sub>O( $d_n=20\text{ nm}$ 左右)纳米流体的导热系数,测得体积分数2%的Al-H<sub>2</sub>O纳米流体导热系数比水的导热系数提高了6.3%;而添加体积分数为2%的Cu纳米粒子后其导热系数比水的导热系数提高了23%。郑立国<sup>[10]</sup>测定认为MWCNTs-H<sub>2</sub>O纳米流体的导热系数比水的导热系数大。其中,使用阿拉伯胶法制得的体积分数3%的MWCNTs-H<sub>2</sub>O纳米流体的导热系数比水的导热系数增加12.7%;混酸法制得的体积分数3%的MWCNTs-H<sub>2</sub>O纳米流体的导热系数比水的导热系数增加了7.1%。而且,MWCNTs-H<sub>2</sub>O纳米流体的导热系数随碳纳米管浓度的增加而增加,随流体温度的升高而增加。

为研究MWCNTs纳米流体换热性能,利用不同质量分数的MWCNTs纳米流体进行CPU散热实验,比较了不同质量分数的Al<sub>2</sub>O<sub>3</sub>、MWCNTs纳米流体的散热效果,分析了不同种类的纳米粒子对换热效果的影响,其结果为MWCNTs纳米流体在传热与换热系统中的应用提供一定的实验基础。

## 2 实验部分

### 2.1 MWCNTs纳米流体换热性能实验系统

MWCNTs纳米流体换热性能测试实验系统如图1所示,主要由水泵、散热器、模拟CPU(包括保温层、模拟芯片、云母片、绝热层、铜板等)、数据采集仪、管路、电脑、调压器、热电偶等组成。模拟CPU长度为38.6 mm,宽度为27.1 mm。实验液体选用丙二醇-水(PG-H<sub>2</sub>O,体积比3:1)为基液的MWCNTs流体,质量分数分别为0.135%、0.32%,质量分数为0.135%、0.32%的Al<sub>2</sub>O<sub>3</sub>纳米流体和PG-H<sub>2</sub>O(体积比3:1)作为实验对照液体。

模拟CPU的加热功率通过调压器调节,测试段共设置了11个T型热电偶,分别布置在加热主板和边缘、水冷头的正面、侧面及进出口处。

### 2.2 实验

#### 2.2.1 PG-H<sub>2</sub>O冷却液 图2给出了PG-H<sub>2</sub>O(体积比

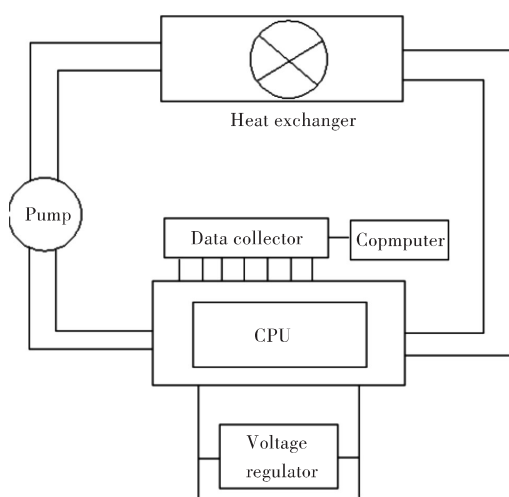


图1 实验系统示意图

Fig. 1 Schematic diagram of test system

3:1)作为冷却液,在热流密度为 $1.94 \times 10^3 \text{ J}/(\text{m}^2 \cdot \text{s})$ 、 $31.04 \times 10^3 \text{ J}/(\text{m}^2 \cdot \text{s})$ 下,模拟CPU平均温度的变化状况。从图1中可以看出,模拟CPU的平均温度稳定在37℃~40℃,温度随着热流密度的升高而升高。热流密度为 $31.04 \times 10^3 \text{ J}/(\text{m}^2 \cdot \text{s})$ 时的温降幅度远高于前者,在 $31.04 \times 10^3 \text{ J}/(\text{m}^2 \cdot \text{s})$ 热流密度下,温降幅度为43℃;而在 $1.94 \times 10^3 \text{ J}/(\text{m}^2 \cdot \text{s})$ 热流密度下,温降幅度为20℃。

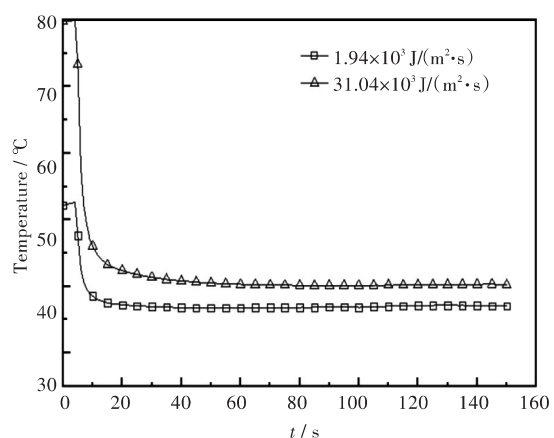


图2 PG-H<sub>2</sub>O冷却液平均温度变化曲线

Fig. 2 Mean temperature curves of PG-water coolant liquid

3:1)作为冷却液,在热流密度为 $1.94 \times 10^3 \text{ J}/(\text{m}^2 \cdot \text{s})$ 、 $31.04 \times 10^3 \text{ J}/(\text{m}^2 \cdot \text{s})$ 下,模拟CPU平均温度的变化状况。从图1中可以看出,模拟CPU的平均温度稳定在37℃~40℃,温度随着热流密度的升高而升高。热流密度为 $31.04 \times 10^3 \text{ J}/(\text{m}^2 \cdot \text{s})$ 时的温降幅度远高于前者,在 $31.04 \times 10^3 \text{ J}/(\text{m}^2 \cdot \text{s})$ 热流密度下,温降幅度为43℃;而在 $1.94 \times 10^3 \text{ J}/(\text{m}^2 \cdot \text{s})$ 热流密度下,温降幅度为20℃。

2.2.2 Al<sub>2</sub>O<sub>3</sub>纳米流体冷却液 采用Al<sub>2</sub>O<sub>3</sub>纳米流体时,不同热流密度下模拟CPU的平均温度变化如图3所示。当模拟CPU平均温度处于稳定状态时,随着质量分数的增加,Al<sub>2</sub>O<sub>3</sub>纳米流体的换热能力有所下降。以热流密度为 $31.04 \times 10^3 \text{ J}/(\text{m}^2 \cdot \text{s})$ 时为例,质量分数0.32% Al<sub>2</sub>O<sub>3</sub>纳米流体温度稳定于40.4℃,比质量分数0.135%的温度高2℃左右。说明Al<sub>2</sub>O<sub>3</sub>纳米流体质量分数的增加会改变流体的传热性质,导致了纳米流体传热性能的下降。本文制

备纳米流体时采用的颗粒质量分数,计算时再将其转化为体积分数,其转化公式<sup>[11]</sup>:

$$\varepsilon = \frac{\rho_f \varphi_m}{\rho_d(1 - \varphi_m) + \rho_f \varphi_m}. \quad (1)$$

式(1)中,  $\varepsilon$  为纳米流体的体积分数,  $\rho_f$  为纳米流体的密度,  $\rho_d$  为基液密度,  $\varphi_m$  为纳米流体的质量分数。

纳米流体的粘度计算公式<sup>[12]</sup>:

$$\frac{\mu_f}{\mu_d} = \frac{1}{(1 - \varepsilon)^{2.5}}. \quad (2)$$

由此可看出,随着纳米流体质量分数的增加,粘度也随之增加。

Pak<sup>[13]</sup>等也指出,纳米流体的粘度会影响其强化传热效果。Madhusree Kole<sup>[14]</sup>等研究了  $\text{Al}_2\text{O}_3$  汽车冷却液纳米流体的粘度与温度和纳米颗粒体积分数之间的关系,结果表明纳米流体的粘度随温度

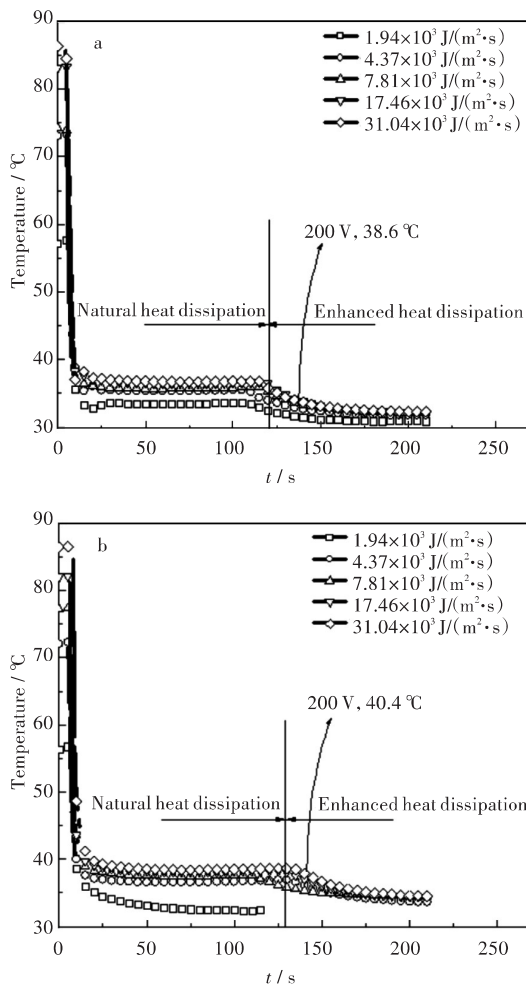


图3 质量分数为(a)0.135%和(b)0.32%的  $\text{Al}_2\text{O}_3$  纳米流体冷却液平均温度变化曲线

Fig. 3 Mean temperature curves of  $\text{Al}_2\text{O}_3$  nanofluids coolant liquid with mass fraction of (a) 0.135% and (b) 0.32%

的升高而减小,随颗粒体积分数的增加而增大。

**2.2.3 MWCNTs 纳米流体冷却液** 如图4所示,MWCNTs 纳米流体作为冷却液时具有极佳的散热效果。使用质量分数 0.135% MWCNTs 纳米流体时,在热流密度为  $31.04 \times 10^3 \text{ J}/(\text{m}^2 \cdot \text{s})$  下,模拟 CPU 的平衡温度为 34.3 °C,而对照组质量分数 0.135%  $\text{Al}_2\text{O}_3$  的温度为 38.6 °C,PG-H<sub>2</sub>O(体积比 3:1)的温度为 40.2 °C。在热流密度为  $31.04 \times 10^3 \text{ J}/(\text{m}^2 \cdot \text{s})$  下,质量分数 0.32% MWCNTs 纳米流体工作时,最高温降可达 48 °C。而且,在所进行的实验中,随质量浓度的增加,MWCNTs 纳米流体散热效果越明显。在相同热流密度( $17.46 \times 10^3 \text{ J}/(\text{m}^2 \cdot \text{s})$ )下,质量分数为 0.135% 的 MWCNTs 纳米流体的平均温度稳定在 34.4 °C,而质量分数为 0.32% 的 MWCNTs 纳米流体的温度稳定在 32.3 °C。

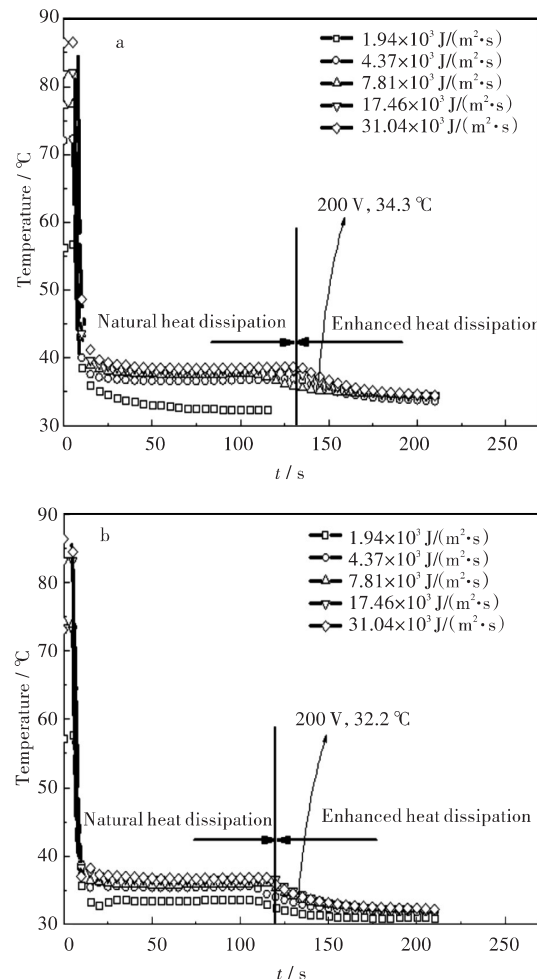


图4 质量分数为(a)0.135%和(b)0.32%的 MWCNTs 纳米流体冷却液平均温度变化曲线

Fig. 4 Mean temperature curves of MWCNTs nanofluids coolant liquid with mass fraction of (a) 0.135% and (b) 0.32%

### 3 结果与讨论

对比图3和图4可知,与 $\text{Al}_2\text{O}_3$ 纳米流体相比,相同质量分数MWCNTs纳米流体作用下的模拟CPU平均温降幅度更大,达到平衡温度的时间更短。例如,质量分数为0.135%时,在不同热流密度作用下, $\text{Al}_2\text{O}_3$ 的温度稳定在35.6~38.6℃,MWCNTs的温度稳定在32.3~34.3℃。在同一热流密度[ $31.04 \times 10^3 \text{ J}/(\text{m}^2 \cdot \text{s})$ ]下,MWCNTs的温度稳定为34.3℃,而 $\text{Al}_2\text{O}_3$ 稳定在38.6℃。由图5可知,MWCNTs纳米流体的换热性能优于 $\text{Al}_2\text{O}_3$ 纳米流体。

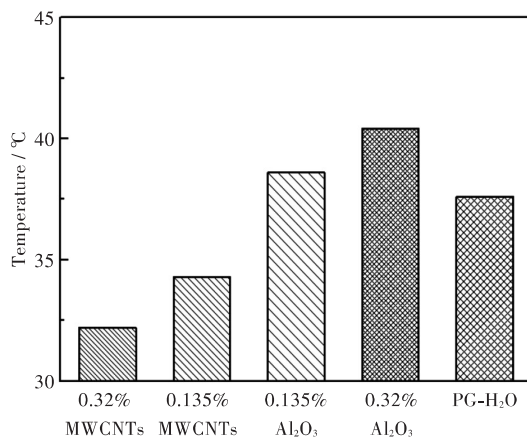


图5 在相同热流密度下5组冷却液的平均温度

Fig. 5 Mean temperature of five groups of coolant liquid at same heat flux

热阻能够反映阻止热量传递能力的大小,因此在评价换热性能时常使用热阻作为评判指标<sup>[15]</sup>。一般情况下,热阻越小,物质的传热能力越强。散热器热阻计算公式为

$$R = \frac{T_c - T_m}{Q}, \quad (3)$$

式(3)中, $T_c$ 为散热器底面最高的温度; $T_m$ 为进出口温度平均值; $Q$ 为改热源产生的热量; $R$ 为计算得出散热器的总热阻。

根据公式(3)计算出的结果如图6所示。

当模拟CPU功率为32.47 W时,载入MWCNTs(质量分数0.32%)纳米流体的散热器热阻值为0.269 °C/W,是测试液体中热阻值最小的;与常用的 $\text{Al}_2\text{O}_3$ 纳米粒子相比,MWCNTs纳米粒子的换热能力更强。当功率为2.03 W时,MWCNTs纳米流体(质量分数0.32%)热阻值是2.908 °C/W, $\text{Al}_2\text{O}_3$ 纳米流体(质量分数0.32%)热阻值是6.517 °C/W。随着质量分数的增加,MWCNTs纳米流体的换热效

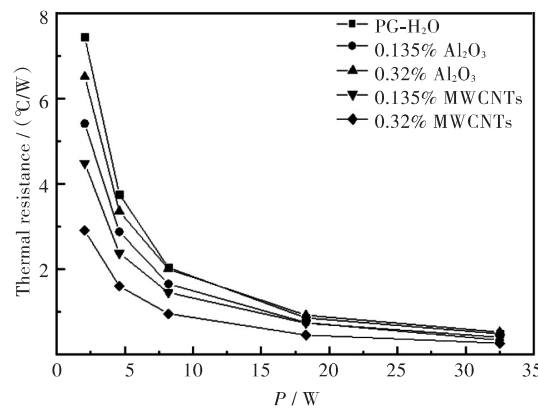


图6 在不同功率下5组冷却液的热阻值

Fig. 6 Thermal resistance of five groups of coolant liquid at different powers

果增强,在模拟CPU功率为8.17 W时,MWCNTs纳米流体(质量分数0.32%)的热阻值是0.96 °C/W,MWCNTs纳米流体(质量分数0.135%)热阻值是1.454 °C/W。质量分数0.32%的MWCNTs纳米流体的热阻值在相同工况下均小于质量分数0.135%。在相同功率(2.03 W、4.57 W、8.17 W)作用下,不同冷却液工作时的散热器热阻值排序如下,该结果与实测温度变化一致。

$$\begin{aligned} R_{0.32\text{MWCNTs}} &> R_{0.135\text{MWCNTs}} > R_{0.135\text{Al}_2\text{O}_3} \\ R_{0.32\text{Al}_2\text{O}_3} &> R_{\text{PG-H}_2\text{O}}. \end{aligned}$$

而在功率18.26 W、32.47 W时,不同冷却液工作时的散热器热阻值排序如下:

$$\begin{aligned} R_{0.32\text{MWCNTs}} &> R_{0.135\text{MWCNTs}} > R_{0.135\text{Al}_2\text{O}_3} \\ R_{\text{PG-H}_2\text{O}} &> R_{0.32\text{Al}_2\text{O}_3}. \end{aligned}$$

为了定量评估添加纳米粒子对液体传热性能的影响,将MWCNTs纳米流体(质量分数0.135%、0.32%)与 $\text{Al}_2\text{O}_3$ 纳米流体(质量分数0.135%、0.32%)的热阻值( $R_1$ )与相同工况下的基液(PG-H<sub>2</sub>O)的热阻值( $R_0$ )之比,定义为纳米粒子影响因子 $E$ :

$$E = R_1 / R_0. \quad (4)$$

图7给出了填充不同纳米粒子的纳米流体 $E$ 随功率值的变化规律。

从图7可以看出,对于MWCNTs纳米流体, $E$ 分别为0.602到0.828(质量分数0.135%)和0.39到0.549(质量分数0.32%),说明碳纳米管粒子增强了基液(PG-H<sub>2</sub>O)的换热性能,且在高质量浓度时强化效果更明显。对于 $\text{Al}_2\text{O}_3$ 纳米流体(质量分数0.135%), $E$ 在全部工况下全小于1,说明在低浓度时, $\text{Al}_2\text{O}_3$ 粒子强化了换热性能;而质量分数0.32%

的 $\text{Al}_2\text{O}_3$ 纳米流体在功率为18.26 W、32.47 W时,  $E$ 分别为1.078、1.077, 两者均大于1, 说明粘度对换热性能的恶化作用大于纳米粒子对换热性能的提高, 质量分数的提升增大了纳米流体的粘度。

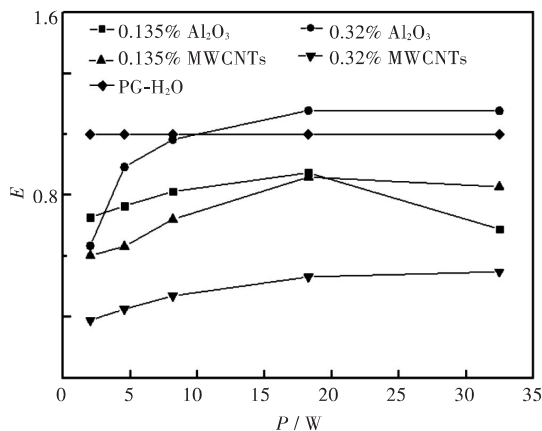


图7 在不同功率下5组纳米流体的影响因子

Fig. 7 Impact factor of five groups of nanofluids at different powers

## 4 结语

使用MWCNTs纳米流体进行液冷式CPU散热器的换热性能实验。实验结果表明,MWCNTs纳米流体具有良好的换热性能。在功率为32.47 W下,MWCNTs纳米流体(质量分数0.32%)温度稳定为32.2 °C,而 $\text{Al}_2\text{O}_3$ 纳米流体(质量分数0.32%)稳定在40.4 °C。在液体中添加碳纳米管粒子能提升液体的换热能力。在相同功率(18.26 W)下,PG-H<sub>2</sub>O流体的热阻值是0.859 °C/W,MWCNTs纳米流体(质量分数0.32%)的热阻值为0.457 °C/W。在相同功率下,MWCNTs纳米流体的 $E$ 值全小于1。由此表明,随着质量分数的增加,MWCNTs纳米流体的换热效果有所增强。在相同功率的情况下,相同质量分数的MWCNTs流体的热阻值最小,换热能力最强。

## 参考文献:

- [1] CHOI S U S. Enhancing thermal conductivity of fluids with nanoparticles [J]. Office of scientific & technical information technical reports, 1995, 231(1):99–105.
- [2] LI Y, ZHOU J E, TUNG S, et al. A review on development of nanofluid preparation and characterization [J]. Powder technology, 2009, 196(2):89–101.
- [3] LI C H, PETERSON G P. Experimental investigation of temperature and volume fraction on the effective thermal conductivity of nanoparticle suspensions (nanofluids) [J]. Journal of applied physics, 2006, 99(8):93–102.
- [4] LI X F, ZHU D S, WANG X J. Evaluation on dispersion behavior of the aqueous copper nano-suspensions [J]. Journal of colloid & interface science, 2007, 310(2): 456–463.
- [5] 何钦波, 童明伟, 刘玉东. 低温相变蓄冷纳米流体成核过冷度的实验研究 [J]. 制冷学报, 2007, 28(4): 33–36.
- [6] HE Q B, TONG M W, LIU Y D. Experimental study on super-cooling degree of nanofluids for cryogenic cool storage [J]. Journal of refrigeration, 2007, 28(4):33–36.
- [7] EASTMAN J A, CHOIS U S, LI S. Novel thermal properties of nanostructured material [J]. Journal of metastable & nanocrystalline materials, 1999, 2(6):629–634.
- [8] MASUDAH, EBATA A, TERAMAE K, et al. Alteration of thermal conductivity and viscosity of liquid by dispersed ultra-fine particles (dispersion of  $\gamma$ - $\text{Al}_2\text{O}_3$ ,  $\text{SiO}_2$  and  $\text{TiO}_2$  ultra-fine particles) [J]. NetsuBussei, 1993, 7(4):227–233.
- [9] 李强. 纳米流体强化传热机理研究 [D]. 南京:南京理工大学, 2003.
- [10] 郑立国. 碳纳米管-水纳米流体重力热管传热性能研究 [D]. 杭州:浙江大学, 2007.
- [11] 宣益民, 李强. 纳米流体能量传递理论与应用 [M]. 北京:科学出版社, 2010.
- [12] BRINKMAN H C. The viscosity of concentrated suspensions and solution [J]. Journal of chemical physics, 1952, 20(4):571.
- [13] PAK B C, CHOI Y L. Hydrodynamic and heat transfer study of dispersed fluids with submicron metallic oxide particles [J]. Experimental heat transfer, 1998, 11(2): 151–170.
- [14] KOLE M, DEY T K. Viscosity of alumina nanoparticles dispersed in car engine coolant [J]. Experimental thermal & fluid science, 2010, 34(6):677–683.
- [15] 陆正裕, 熊建银, 屈治国, 等. CPU散热器换热特性的实验研究 [J]. 工程热物理学报, 2004, 25(5): 862–863.
- LU Z Y, XIONG J Y, QU Z G, et al. An experimental study on two kinds of heat sinks of CPU [J]. Journal of engineering thermophysics, 2004, 25(5):862–863.

本文编辑:陈小平